

PAPER DETAILS

TITLE: Karbon nanotüp örüntülü polymer silindirik kabukların eksenel yük etkisi altında burkulması

AUTHORS: Mahmure AVEY,Fethi KADIOGLU,Semra AHMETOLAN

PAGES: 1172-1178

ORIGINAL PDF URL: <https://dergipark.org.tr/tr/download/article-file/2526995>



Karbon nanotüp örüntülü polymer silindirik kabukların eksenel yük etkisi altında burkulması

Buckling of carbon nanotube patterned polymer cylindrical shells under the axial load

Mahmure Avey^{1*} , Fethi Kadioğlu² , Semra Ahmetolan³

¹İstanbul Teknik Üniversitesi, Lisansüstü Eğitim Enstitüsü, Matematik Mühendisliği Anabilim Dalı 34469 İstanbul, Türkiye

²İstanbul Teknik Üniversitesi, İnşaat Fakültesi, İnşaat Mühendisliği Bölümü, 34469 İstanbul, Türkiye

³İstanbul Teknik Üniversitesi, Fen Edebiyat Fakültesi, Matematik Mühendisliği Bölümü 34469 İstanbul, Türkiye

Öz

Bu makalede, eksenel basınç yüküne maruz kalan karbon nanotüp (KNT) örüntülü silindirik kabukların burkulması, kayma deformasyon teorisi (KDT) çerçevesinde sunulmaktadır. Nanokompozitlerin malzeme özellikleri kalınlık koordinatına bağlı olarak lineer fonksiyon şeklinde değişmektedir. KNT örüntülü silindirik kabukların temel denklemleri Donnell tipi kabuk teorisi baz alınarak türetilmekte ve Galerkin yöntemi uygulanarak kritik eksenel yük ifadesi KDT çerçevesinde elde edilmektedir. Enine kayma deformasyonlarının fonksiyonel olarak derecelendirilmiş (FD) KNT örüntülü silindirik kabukların kritik eksenel yük değerlerine etkileri, KNT örüntülerini, hacim kesir oranını ve kabuk parametreleri değiştirilerek araştırılmaktadır.

Anahtar kelimeler: Nanokompozit, Silindirik kabuk, Burkulma, Kritik eksenel yük

1 Giriş

Polimer kompozit malzemelerin halihazırda uygulama olarak bulunduğu uzay ve havacılık endüstrisinin gelişimi ve olası uygulamalarının genişlemesi, mukavemet özelliklerini seviyesi için artan gereksinimler yaratmaktadır [1]. Modern teknolojinin umut verici yönlerinden biri, malzemelerin mekanik özelliklerini iyileştirmek için çeşitli nano ölçekli malzemeler üretebilmesidir. Bu nano ölçekli malzemelerden biri, yüksek viskoziteli malzemelerin mekanik özelliklerini iyileştirme potansiyeline sahip olan karbon nanotüplerdir. KNT'ler fullerinden oluşan boru şeklindeki nano malzemeler olup 1991 yılında Iijima [2] çalışmasında gündeme gelmiştir. Silindirik şekilli bu malzemeler, benzeri görülmemiş mekanik, elektriksel ve termal özelliklerinden dolayı kompozit endüstrilerinde geniş uygulama alanına sahiptir. Bu nedenle, KNT'lerin kompozitlere takviyesi onların mekanik özelliklerini büyük ölçüde artırabilir [3,4]. Bu geliştirilmiş kompozitlerin uçak ve otomobil ekipmanlarında uygulanması, yakıt verimliliğini artırabilir ve daha büyük çevresel etkiye sahip olan egzoz gazı emisyonunu azaltabilir. KNT desenli kompozitler ile ilgili gerçekleştirilen ilk araştırmalarda malzeme özelliklerinin belirlenmesi ile uğraşılmıştır [5,6]. Han ve Elliott [7], KNT'lerle takviye edilmiş polimer kompozitlerin malzeme

Abstract

In this article, the buckling of carbon nanotube (CNT) patterned cylindrical shells subjected to axial compressive load is presented within the framework of shear deformation theory (SDT). The material properties of nanocomposites change as a linear function depending on the thickness coordinate. The basic equations of cylindrical shells with CNT pattern are derived based on Donnell type shell theory and the critical axial load expression is obtained within the framework of SDT by applying Galerkin method. The effects of transverse shear deformations on the critical axial load of functionally graded CNT patterned cylindrical shells are investigated by changing CNT patterns, volume fraction ratio and shell parameters.

Keywords: Nanocomposite, Cylindrical shell, Buckling, Critical axial load

özelliklerini değerlendirmek için moleküller dinamik (MD) simülasyonunu kullanarak KNT takviyeli polimer kompozitlerin mekanik özelliklerinin iyileştirilmesinin, polimer matris çeşitlerine ve KNT'lerin kalitesine ve miktarına bağlı olduğu sonucuna varılmışlardır.

Nanokompozit silindirik kabuklar genellikle modern mühendislik dallarında, özellikle uzay araçlarında, nükleer reaktörlerde ve roketlerde kullanıldığı için son teknoloji ürünlerle (yeni sınıf çok fonksiyonlu malzemelerle) donatılmaktadır. Karbon nanotüp menşeli yapısal elementler, yeni nesil heterojen kompozitler sınıfına ait olup bunların modellenmesi sağlam bir matematiksel altyapı gerektirir. Ayrıca karmaşık mühendislik problemleri olan çeşitli yükler altında nanokompozit silindirlerin titresim ve burkulma problemlerinin gerçekçi matematiksel modellerinin oluşturulması, onların uygulamalarının güvenilirliği ve emniyeti açısından oldukça önemlidir. FD nanokompozit silindirik kabuklar, kullanım amacı gereği daha fazla eksenel basınç yükü etkisine maruz kaldığından onların tasarımındaki burkulma davranışının analiz edilmesi önemlidir. KNT takviyeli silindirik kabukların burkulma problemi ilk olarak Shen [8] çalışmasında gerçekleştirilmiştir. Son yıllarda, nanokompozit menşeli silindirik kabukların termomekanik ve burkulma davranışları üzerine bazı çalışmalar

* Sorumlu yazar / Corresponding author, e-posta / e-mail: mahmureavey@gmail.com (M. Avey)
Geliş / Received: 05.07.2022 Kabul / Accepted: 29.07.2022 Yayımlanma / Published: 14.10.2022
doi: 10.28948/ngmuh.1140950

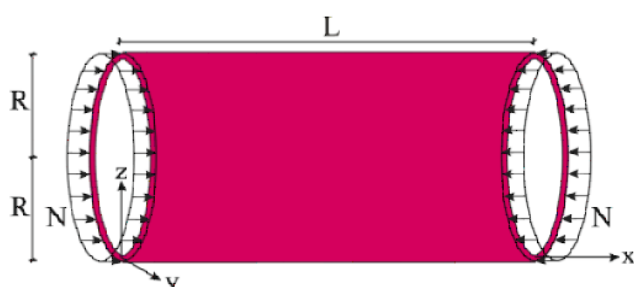
yapılmıştır. Örneğin; Lei vd. [9] çalışmasında, elemansız kp-Ritz yöntemini kullanarak fonksiyonel olarak derecelendirilmiş karbon nanotüplerle güçlendirilmiş kompozit plakların burkulma analizini gerçekleştirmiştir. Chakraborty vd. [10] eserinde, yarı analistik yaklaşım kullanılarak KNT'lerle güçlendirilmiş fonksiyonel olarak derecelendirilmiş lamine kompozit silindirik kabuk panellerin burkulma ve titreşim analizi sunulmuştur. Nam vd. [11] çalışmasında, termal ortamda elastik temel ile çevrili eksenel sıkıştırma altında ortogonal karbon nanotüp takviyeli kompozit silindirik kabukların burkulması klasik kabuk teorisi çerçevesinde ele alınmıştır.

Karbon nanotüplerle güçlendirilen kompozitlerin hacim içeriği gradyan olarak dağılığından, yapının enine kayma modülü, fiber yönündeki etkin elastik modülünden çok daha az olduğundan yapı enine kaymaya daha duyarlı olur ve dikkate alınmalıdır [12-14]. Literatür taraması, KDT çerçevesinde karbon nanotüplerle takviye edilen silindirik kabukların burkulmasının yeterince çalışmamadığını ortaya koymaktadır. Bu çalışmada, söz konusu problemin KDT çerçevesinde incelemesi hedeflenmektedir.

2 Materyal ve metot

2.1 Problemin formülasyonu ve mekanik özelliklerin modellenmesi

Şekil 1’de, eksenel basınç yükü altındaki KNT örüntülü dairesel ve kapalı silindirik bir kabuk ve karakteristikleri sunulmaktadır. Oxyz koordinat sisteminin orijin silindirik kabığın orta yüzeyinin sol ucunda yer almaktır ve x , y ve z eksenleri **Şekil 1**’deki gibi yönlendirilmektedir.



Şekil 1. Eksenel yüklü nanokompozit silindirik kabuk ve koordinat sistemi

Nanokompozit silindirik kabuğun Young modülleri ve Poisson oranı gibi etkin malzeme özellikleri, karışım kuralına göre aşağıdaki gibi ifade edilir [8]:

$$\begin{aligned} Y_{11}(\bar{z}) &= \eta_1 V_{knt}(\bar{z}) Y_{11}^{knt} + V^m Y^m, \\ \frac{\eta_2}{Y_{22}(\bar{z})} &= \frac{V_{knt}(\bar{z})}{Y_{22}^{knt}} + \frac{V^m}{Y^m}, \quad V_{12} = V_{knt}^* V_{11}^{knt} + V^m V^m \\ \frac{\eta_3}{G_{12}(\bar{z})} &= \frac{V_{knt}(\bar{z})}{G_{12}^{knt}} + \frac{V^m}{G^m}, \\ G_{13}(\bar{z}) &= G_{12}(\bar{z}), \quad G_{23}(\bar{z}) = 1.2 G_{12}(\bar{z}) \end{aligned} \quad (1)$$

Burada verimlilik parametreleri η_i ($i=1,2,3$) ile polimerin hacim kesir oranı V^m ile polimerin (veya matrisin) ve

KNT'lerin Young modülleri sırasıyla Y^m ve Y_{kk}^{knt} ile ve KNT'lerin kayma modülü G_{12}^{knt} ile gösterilmektedir.

Hacim kesir oranı V_{knt} kalınlık koordinatının lineer fonksiyonları olarak aşağıdaki gibi ifade edilir [8, 15]:

$$\begin{aligned} V_{knt} &= V_{knt}^* \text{ ise } \ddot{U} \\ V_{knt} &= (1 - 2\bar{z})V_{knt}^* \text{ ise } V \\ V_{knt} &= (1 + 2\bar{z})V_{knt}^* \text{ ise } A \\ V_{knt} &= 4|\bar{z}|V_{knt}^* \text{ ise } X \end{aligned} \quad (2)$$

2.2 Temel bağıntı ve denklemlerin türetilmesi

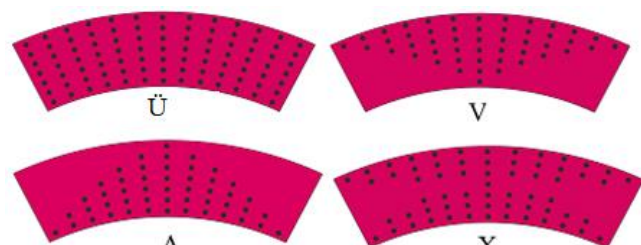
KNT örüntülü silindirik kabukların KDT çerçevesinde bünyesel bağıntıları Denklem (1) dikkate alınarak aşağıdaki gibi oluşturulur [15]:

$$\begin{bmatrix} \sigma_{11} \\ \sigma_{22} \\ \sigma_{12} \\ \sigma_{13} \\ \sigma_{23} \end{bmatrix} = \begin{bmatrix} A_{11} & A_{12} & 0 & 0 & 0 \\ A_{21} & A_{22} & 0 & 0 & 0 \\ 0 & 0 & A_{66} & 0 & 0 \\ 0 & 0 & 0 & A_{55} & 0 \\ 0 & 0 & 0 & 0 & A_{44} \end{bmatrix} \begin{bmatrix} \varepsilon_{11} \\ \varepsilon_{22} \\ \gamma_{12} \\ \gamma_{13} \\ \gamma_{23} \end{bmatrix} \quad (3)$$

Burada σ_{ij} ve ε_{ii} , γ_{ij} ($i = 1, 2$, $j = 2, 3$) sırasıyla gerilme ve deformasyon bileşenleri, A_{ij} ($i, j = 1, 2, \dots, 6$) fonksiyonel derecelendirilmiş nanokompozitlerin malzeme özelliklerine bağlı katsayılar olup su şekilde ifade edilir:

$$\begin{aligned} A_{11}(\bar{z}) &= \frac{Y_{11}(\bar{z})}{1 - \nu_{12}\nu_{21}}, \quad A_{12}(\bar{z}) = \frac{\nu_{21}Y_{11}(\bar{z})}{1 - \nu_{12}\nu_{21}}, \\ A_{21}(\bar{z}) &= \frac{\nu_{12}Y_{22}(\bar{z})}{1 - \nu_{12}\nu_{21}}, \quad A_{22}(\bar{z}) = \frac{Y_{22}(\bar{z})}{1 - \nu_{12}\nu_{21}} \\ A_{44}(\bar{z}) &= G_{23}(\bar{z}), \quad A_{55}(\bar{z}) = G_{13}(\bar{z}), \\ A_{66}(\bar{z}) &= G_{12}(\bar{z}) \end{aligned} \quad (4)$$

Şekil 2'deki en kesitlerdeki örüntüler Denklem (2) kullanılarak gerçekleştirılmıştır.



Sekil 2. Silindirik kabuğun KNT örüntülü en kesitleri

Denklem (3) ve KDT'nin varsayımları dikkate alınarak, KNT örtülü silindirik kabukların keyfi bir noktasındaki deformasyon alanının bileşenleri $(\varepsilon_{11}, \varepsilon_{22}, \gamma_{12})$, orta yüzeydeki $(\varepsilon_{011}, \varepsilon_{022}, \gamma_{012})$ deformasyonları ile aşağıdaki gibi ifade edilir [15]:

$$\begin{bmatrix} \varepsilon_{11} \\ \varepsilon_{22} \\ \gamma_{12} \end{bmatrix} = \begin{bmatrix} \varepsilon_{011} - z \frac{\partial^2 w}{\partial x^2} + I_1(z) \frac{\partial \varphi_1}{\partial x} \\ \varepsilon_{022} - z \frac{\partial^2 w}{\partial y^2} + I_2(z) \frac{\partial \varphi_2}{\partial y} \\ \gamma_{012} - 2z \frac{\partial^2 w}{\partial x \partial y} + I_1(z) \frac{\partial \varphi_1}{\partial y} + I_2(z) \frac{\partial \varphi_2}{\partial x} \end{bmatrix} \quad (5)$$

Burada $\varphi_i (i=1,2)$ sırasıyla y ve x eksenlerine göre açıları gösterir, $I_i(z)$ gerilme fonksiyonları içeren parametre olup aşağıdaki gibi tanımlanır:

$$I_1(z) = \int_0^z \frac{df_1}{dz} \frac{1}{G_{13}(\bar{z})} dz, \quad I_2(z) = \int_0^z \frac{df_2}{dz} \frac{1}{G_{23}(\bar{z})} dz \quad (6)$$

Kuvvet ve moment bileşenleri aşağıdaki integralerden bulunur [16]:

$$\begin{aligned} N_{ij} &= \int_{-h/2}^{h/2} \sigma_{ij} dz, \quad Q_i = \int_{-h/2}^{h/2} \sigma_{i3} dz, \\ M_{ij} &= \int_{-h/2}^{h/2} \sigma_{ij} z dz, \quad (i, j = 1, 2) \end{aligned} \quad (7)$$

Düzlem içi kuvvetlerle Airy gerilme fonksiyonu (F) arasındaki ilişki aşağıdaki gibidir [16]:

$$N_{11} = h \frac{\partial^2 F}{\partial y^2}, \quad N_{12} = -h \frac{\partial^2 F}{\partial x \partial y}, \quad N_{22} = h \frac{\partial^2 F}{\partial x^2} \quad (8)$$

KDT çerçevesinde silindirik kabukların eksenel yük altındaki stabilité ve deformasyon uygunluk denklemleri şu şekildedir [16]:

$$\begin{aligned} \frac{\partial M_{11}}{\partial x} + \frac{\partial M_{12}}{\partial y} - Q_1 &= 0, \quad \frac{\partial M_{21}}{\partial x} + \frac{\partial M_{22}}{\partial y} - Q_2 = 0, \\ \frac{\partial Q_1}{\partial x} + \frac{\partial Q_2}{\partial y} + \frac{N_{22}}{R} - N \frac{\partial^2 w}{\partial x^2} &= 0 \end{aligned} \quad (9)$$

$$\frac{\partial^2 \varepsilon_{011}}{\partial y^2} + \frac{\partial^2 \varepsilon_{022}}{\partial x^2} - \frac{\partial^2 \gamma_{012}}{\partial x \partial y} = -\frac{1}{R} \frac{\partial^2 w}{\partial x^2} \quad (10)$$

Sonraki aşamada, Denklemler (3), (4), (5), (6), (7), (8) kullanılarak, kuvvet ve moment bileşenleri ve orta yüzeydeki deformasyonlar, w yer değiştirmeye, F gerilme fonksiyonu ve açılarının fonksiyonları cinsinden ifade edilir. Elde edilen bağıntılar Denklemler (9) ve (10)'a yerleştirilerek, eksenel basınç yükü altında KNT'lerle takviye edilmiş kayma deformasyonlu silindirik kabukların stabilité ve deformasyon uygunluk denklemleri aşağıdaki şekli alır:

$$\begin{aligned} h(c_{11} - c_{31}) \frac{\partial^4 F}{\partial x^2 \partial y^2} + hc_{12} \frac{\partial^4 F}{\partial x^4} - c_{13} \frac{\partial^4 w}{\partial x^4} \\ - (c_{14} + c_{32}) \frac{\partial^4 w}{\partial x^2 \partial y^2} + c_{15} \frac{\partial^3 \varphi_1}{\partial x^3} + c_{35} \frac{\partial^3 \varphi_1}{\partial x \partial y^2} \\ - I_3 \frac{\partial \varphi_1}{\partial x} + c_{18} \frac{\partial^3 \varphi_2}{\partial x^2 \partial y} + c_{38} \frac{\partial^3 \varphi_2}{\partial x^2 \partial y} = 0 \\ hc_{21} \frac{\partial^4 F}{\partial y^4} + h(c_{22} - c_{31}) \frac{\partial^4 F}{\partial x^2 \partial y^2} - (c_{32} + c_{23}) \frac{\partial^4 w}{\partial x^2 \partial y^2} \\ - c_{24} \frac{\partial^4 w}{\partial y^4} + c_{35} \frac{\partial^3 \varphi_1}{\partial x \partial y^2} + c_{25} \frac{\partial^3 \varphi_1}{\partial x \partial y^2} \\ + c_{38} \frac{\partial^3 \varphi_2}{\partial x^2 \partial y} + c_{28} \frac{\partial^3 \varphi_2}{\partial y^3} - I_4 \frac{\partial \varphi_2}{\partial y} = 0 \\ hb_{11} \frac{\partial^4 F}{\partial y^4} + h(b_{12} + b_{21} + b_{31}) \frac{\partial^4 F}{\partial x^2 \partial y^2} + hb_{22} \frac{\partial^4 F}{\partial x^4} \\ - b_{23} \frac{\partial^4 w}{\partial x^4} - (b_{24} + b_{13} - b_{32}) \frac{\partial^4 w}{\partial x^2 \partial y^2} - b_{14} \frac{\partial^4 w}{\partial y^4} \\ + \frac{1}{R} \frac{\partial^2 w}{\partial x^2} + b_{25} \frac{\partial^3 \varphi_1}{\partial x^3} + b_{15} \frac{\partial^3 \varphi_1}{\partial x \partial y^2} + b_{35} \frac{\partial^3 \varphi_1}{\partial x \partial y^2} \\ + b_{28} \frac{\partial^3 \varphi_2}{\partial x^2 \partial y} + b_{38} \frac{\partial^3 \varphi_2}{\partial x^2 \partial y} + b_{18} \frac{\partial^3 \varphi_2}{\partial y^3} = 0 \\ \frac{h}{R} \frac{\partial^2 F}{\partial x^2} - N \frac{\partial^2 w}{\partial x^2} + I_3 \frac{\partial \varphi_1}{\partial x} + I_4 \frac{\partial \varphi_2}{\partial y} = 0 \end{aligned} \quad (11)$$

Burada b_{ij} ve $c_{ij} (i=1, 2, \dots, 4, j=1, 2, \dots, 8)$ malzeme ve kabuk özelliklerine bağlı katsayılardır [15].

3 Bulgular ve tartışma

3.1 Temel denklemlerin çözümü

Serbest mesnetli simir koşullarını sağlayan yaklaşım fonksiyonları aşağıdaki gibi aranır [15]:

$$\begin{aligned} w &= A_1 \sin(\lambda x) \sin(\mu y), \quad F = A_2 \sin(\lambda x) \sin(\mu y), \\ \varphi_1 &= A_3 \cos(\lambda x) \sin(\mu y), \quad \varphi_2 = A_4 \sin(\lambda x) \cos(\mu y) \end{aligned} \quad (12)$$

Burada $A_i (i=1, 2, \dots, 4)$ bilinmeyen genliklerdir, $(\lambda, \mu) = \left(\frac{m\pi}{L}, \frac{n}{R} \right)$ olup dalga parametreleri, (m, n) ise burkulma modlarıdır.

Denklem (12)'deki fonksiyonlar Denklemler sistemi (11)'de yerine yazılıp, Galerkin yöntemi uygulandığında, aşağıdaki cebirsel matris denklemi elde edilir:

$$\begin{bmatrix} k_{11} & -k_{12} & k_{13} & k_{14} \\ k_{21} & -k_{22} & k_{23} & k_{24} \\ k_{31} & -k_{32} & k_{33} & k_{34} \\ k_{41} & N\lambda^2 & k_{43} & k_{44} \end{bmatrix} \begin{bmatrix} A_1 \\ A_2 \\ A_3 \\ A_4 \end{bmatrix} = \begin{bmatrix} 0 \\ 0 \\ 0 \\ 0 \end{bmatrix} \quad (13)$$

Matris içindeki katsayılar aşağıdaki gibi tanımlanır:

$$\begin{aligned}
 k_{11} &= [(c_{11} - c_{31})\lambda^2\mu^2 + c_{12}\lambda^4]h, \\
 k_{12} &= (c_{14} + c_{32})\lambda^2\mu^2 + c_{13}\lambda^4, \\
 k_{13} &= c_{15}\lambda^3 + c_{35}\lambda\mu^2 + I_5\lambda, \quad k_{14} = (c_{18} + c_{38})\mu\lambda^2, \\
 k_{21} &= [c_{21}\mu^4 + (c_{22} - c_{31})\lambda^2\mu^2]h, \\
 k_{22} &= (c_{32} + c_{23})\lambda^2\mu^2 + c_{24}\mu^4, \quad k_{23} = (c_{25} + c_{35})\lambda\mu^2, \\
 k_{24} &= c_{28}\mu^3 + c_{38}\lambda^2\mu + I_6\mu, \\
 k_{31} &= h[b_{22}\lambda^4 + (b_{12} + b_{21} + b_{31})\lambda^2\mu^2 + b_{11}\mu^4], \\
 k_{32} &= b_{23}\lambda^4 + (b_{24} + b_{13} + b_{32})\lambda^2\mu^2 + b_{14}\mu^4 + \frac{\lambda^2}{R}, \\
 k_{33} &= b_{25}\lambda^3 + (b_{15} + b_{35})\lambda\mu^2, \\
 k_{34} &= (b_{28} + b_{38})\lambda^2\mu + b_{18}\mu^3, \quad k_{41} = \frac{\lambda^2 h}{R}, \\
 k_{43} &= I_5\lambda, \quad Q_{44} = I_6\mu
 \end{aligned} \tag{14}$$

Fonksiyonel olarak derecelendirilmiş nanokompozit silindirik kabukların kritik eksenel basınç yükünü bulmak için, cebirsel [Denklem \(13\)](#)'nın katsayılarından oluşan determinantı sıfıra eşitleyip determinant kofaktörler cinsinden yazıldığında, şu cebirsel denklem elde edilir:

$$k_{41}D_{41} - ND_{42}\lambda^2 + k_{43}D_{43} + k_{44}D_{44} = 0 \tag{15}$$

Burada D_{ij} ($i = 4, j = 1, 2, 3, 4$) kare matrisin determinantıdır ve şu tanımlar geçerlidir:

$$\begin{aligned}
 D_{41} &= \begin{vmatrix} k_{12} & k_{13} & k_{14} \\ k_{22} & k_{23} & k_{24} \\ k_{32} & k_{33} & k_{34} \end{vmatrix}, \quad D_{42} = -\begin{vmatrix} k_{11} & k_{13} & k_{14} \\ k_{21} & k_{23} & k_{24} \\ k_{31} & k_{33} & k_{34} \end{vmatrix} \\
 D_{43} &= -\begin{vmatrix} k_{11} & k_{12} & k_{14} \\ k_{21} & k_{22} & k_{24} \\ k_{31} & k_{32} & k_{34} \end{vmatrix}, \quad D_{44} = \begin{vmatrix} k_{11} & k_{12} & k_{13} \\ k_{21} & k_{22} & k_{23} \\ k_{31} & k_{32} & k_{33} \end{vmatrix}
 \end{aligned} \tag{16}$$

[Denklem \(15\)](#)'den KDT çerçevesinde KNT takviyeli nanokompozit silindirik kabukların kritik eksenel yükü için aşağıdaki ifade bulunur:

$$N_{kdt}^{kr} = \frac{k_{41}D_{41} + k_{43}D_{43} + k_{44}D_{44}}{\lambda^2 D_{42}} \tag{17}$$

KDT çerçevesinde, KNT takviyeli nanokompozit silindirik kabukların boyutsuz kritik eksenel yükü aşağıdaki ifade edilen bulunur:

$$N_{1kdt}^{kr} = \frac{N_{kdt}^{kr}}{Y^m h} \tag{18}$$

Temel bağıntılarda enine kayma deformasyonları göz ardi edilerek, KKT'ye dayalı KNT örtülü silindirik kabukların kritik eksenel yükü için ifade edilir. Bu

durum için boyutlu ve boyutsuz kritik eksenel yükler sırasıyla N_{kkt}^{kr} ve N_{1kkt}^{kr} sembollerile gösterilmektedir. Kritik eksenel yükün minimum değerini bulmak için [Denklemeler \(17\) ve \(18\)](#) burkulma modu (m, n) ye göre minimize edilir.

3.2 Karşılaştırma

Karşılaştırmada, matris için PMMA adı verilen poli (metil metakrilat) ve takviye elemanı olarak $(10, 10)$ KNT'ler kullanılmaktadır. KNT ve PMMA'nın mekanik özellikleri $T = 300K$ (oda sıcaklığı) için sırasıyla aşağıdaki gibidir [\[8\]](#):

$Y_{11}^{knt} = 5.6466 \text{ TPa}$, $Y_{22}^{knt} = 7.080 \text{ TPa}$, $Y_{12}^{knt} = 1.9445 \text{ TPa}$, $\nu_{12}^{CN} = 0.175$, $\rho^{knt} = 1400 \text{ kg/m}^3$ ve $Y^m = 2.5 \times 10^9 \text{ Pa}$, $\nu^m = 0.34$, $\rho^m = 1.15 \times 10^3 \text{ kg/m}^3$. Ayrıca, KNT'nin verimlilik parametreleri [Tablo 1](#)'de sunulmaktadır.

Tablo 1. KNT'lerin hacim oranı için KNT/matris verimlilik parametreleri

V_{knt}^*	η_1	η_2	η_3
0.12	0.137	1.022	0.715
0.17	0.142	1.626	1.138
0.28	0.141	1.585	1.109

Ü ve X tipi KNT'lerle modellenen kayma deformasyonlu silindirik kabukların kritik eksenel basınç yükü değerleri Shen [\[8\]](#) sonuçlarıyla karşılaştırırmak için [Tablo 2](#)'de listelenmiştir. Shen [\[8\]](#) çalışmasında kritik eksenel basınç yükü $N_{shen}^{kr} = 2\pi R N_{kdt}^{kr}$ olarak kullanıldığı için bizim çalışmada elde edilen N_{kdt}^{kr} ifadesi $2\pi R$ ile çarpılmıştır. KNT'nin geometrik özellikleri: $L_{knt} = 9.26 \text{ nm}$, $R_{knt} = 0.68 \text{ nm}$, $h_{knt} = 0.067 \text{ nm}$ ve $\nu_{12}^{knt} = 0.175$ olup silindirik kabuğun geometrik karakteristikleri şu şekildedir: $R/h = 30$, $h = 0.002 \text{ m}$, $\bar{Z} = L^2/Rh = 100, 300, 500$. KNT'nin hacim kesir oranı $V_{knt}^* = 0.17$ olarak ele alınmıştır. Bu veriler Shen [\[8\]](#) çalışmasından alınmıştır. Kayma gerilme fonksiyonları şu şekilde: $f_i(z) = z - 4z^3/3$, ($i = 1, 2$). [Tablo 2](#)'den görülebileceği gibi, bizim çalışmamızda elde edilen Ü ve X tipi KNT takviyeli kayma deformasyonlu silindirik kabuğun kritik eksenel basınç yükünün minimum değerleri Shen [\[8\]](#) çalışmasında elde edilen sonuçlarla iyi bir uyum içindedir. Parantez içindeki (m, n) sayıları eksenel burkulma yükünün minimum değerlerine karşı gelen dalga sayılarıdır.

Tablo 2. Değişik tip KNT örtüsüne sahip silindirik kabukların KDT çerçevesinde kritik yük değerlerinin \bar{Z} paremetresine bağlı olarak karşılaştırılması

$N_{shen}^{kr} = 2\pi R N_{kdt}^{kr} (m, n)$				
\bar{Z}	Ü	X	Ü	X
Ref. [8]			Bu çalışma	
100	121.08	142.81	121.278 (1,4)	138.953 (1,4)
300	122.25	148.06	122.440 (2,4)	148.966 (1,3)
500	122.98	142.58	123.1203 (2,4)	139.314 (2,4)

3.3 Nanokompozit silindirik kabukların burkulma analizi

Bu alt bölümde, KNT örüntülü silindirik kabukların kritik eksenel yükü için sayısal sonuçlar sunulmaktadır. Özgün analizler için, malzeme özellikleri önceki karşılaştırmada sunulan matris olarak PMMA ve takviye olarak (10, 10) KNT'ler seçilmiştir. Kayma gerilme fonksiyonları da benzer şekilde parabolik fonksiyon olarak seçilmiştir. Sayısal hesaplarda Formüller (17) ve (18) ve Maple programı kullanılmıştır.

Farklı KNT örüntülerini için kompozit silindirik kabukların kritik eksenel yükleri ($10N_{1kdt}^{kr}$ ve $10N_{1kkt}^{kr}$) ve karşılık gelen (m, n) burkulma modlarının hacim kesir oranlarına göre dağılımı **Tablo 3'** de sunulmaktadır. Burada, silindirik kabuk karakteristikleri şu şekilde kullanılmıştır: $L/R = 1$, $R/h = 20$, $h = 0.002\text{m}$. **Tablo 3'** den görüldüğü gibi kritik eksenel yükün en büyük değeri X örüntülü silindirlerde meydana gelirken en küçük kritik eksenel yük değeri Λ örüntülü silindirlerde ortaya çıkar. Kritik eksenel yükün değerine kayma deformasyonlarının etkisi belirsiz olmakla beraber V_{knt}^* 'nin değişimi ile farklılıklar göstermektedir. Örneğin; $V_{knt}^* = 0.12$ 'den 0.17'ye ve sonra 0.28'e geçiş yaptığından kullanılan tüm örüntülerde kritik eksenel yük değerine enine kayma deformasyonlarının etkisi azalıp sonra artmaktadır. Örneğin, Ü, V, Λ ve X örüntülere sahip silindirlerde enine kayma deformasyonun etkisi sırasıyla, $V_{knt}^* = 0.12$ için %18.90, %13.02, %12.55 ve %26.98; $V_{knt}^* = 0.17$ için %16.37, %11.06, %10.68 ve %24.24 ve $V_{knt}^* = 0.28$ için %23.09, %15.38, %15.09 ve %33.34 olduğu görülmektedir. Burada kayma deformasyonun etki oranı aşağıdaki ifadeden bulunur:

$$\%100 \times (N_{1kkt}^{kr} - N_{1kdt}^{kr}) / N_{1kkt}^{kr}$$

Tablo 3' den görüldüğü gibi üniform örüntüye sahip silindirik kabukların kritik eksenel yüküne kıyasla FD örüntülerin etkilerinin önemli derecede farklı olduğu görülmektedir. V ve Λ örüntülü kabukların kritik eksenel yük değerleri üniform silindirik kabuktakinden küçük olduğu halde, X örüntülü kabuklarda bu değerler daha büyütür. V_{knt}^* değişliğinde kritik eksenel yükle lineer değişim örüntü etkisi belirsiz olup farklılıklar göstermektedir. Örneğin, örüntülerin kritik eksenel yükle etkileri KKT ve KDT çerçevesinde sırasıyla,

$V_{knt}^* = 0.12$ için V örüntüsünde (-19.93%) ve (-14.12%), Λ örüntüsünde (-%25.05) ve (-%19.17) ve X örüntüsünde %36.31 ve %22.73;

$V_{knt}^* = 0.17$ için V örüntüsünde (-%19.07) ve (-%13.93), Λ örüntüsünde (-%24.22) ve (-%19.06) ve X örüntüsünde %35.81 ve %23.02;

$V_{knt}^* = 0.28$ için V örüntüsünde (-%22.22) ve (-%14.42), Λ örüntüsünde (-%25.14) ve (-%17.34) ve X örüntüsünde %41.14 ve %22.33 olduğu görülmektedir.

Gördüğü gibi KDT çerçevesinde örüntülerin kritik eksenel yükle etkileri klasik kabuk teorisine kıyasla daha

düşük olmaktadır. Burada örüntü etkilerinin oranı bu ifade ile hesaplanmıştır: $\%100 \times (N_{1kdt}^{FD} - N_{1krt}^{\bar{U}}) / N_{1krt}^{\bar{U}}$.

Ü, V, Λ ve X şeklinde KNT örüntülerini için polimer silindirik kabukların boyutsuz kritik eksenel yüklerinin ($N_{1kdt}^{kr} \times 10$ ve $N_{1kkt}^{kr} \times 10$) L/R oranına bağlı olarak dağılımı **Şekil 3'** de sunulmaktadır. Sayısal hesaplarda silindirik kabuk karakteristikleri şu şekilde seçilmiştir: $R/h = 20$, $h = 0.002\text{m}$ ve $V_{knt}^* = 0.17$. **Şekil 3'** den görüldüğü gibi L/R oranı arttığında kritik eksenel yükün değerleri sürekli olarak azalmaktadır.

Enine kayma deformasyonlarının kritik eksenel yükle etkisi L/R oranının artmasına bağlı olarak güçlü bir şekilde belirlenmesini kaybetmektedir. Bu azalma özellikle Λ ve V desenli silindirlerde gözlenmiştir. X desenli silindirlerde ise L/R oranı 0.75'den 1.75'e arttığında enine kayma deformasyonlarının kritik eksenel yükle etkisinin azalmasına rağmen belirlenmesini koruduğu görülmüştür. Örneğin, L/R oranı 0.75'ten 1.75'e arttığında Ü, V, Λ ve X-örüntüler için kayma deformasyonlarının kritik eksenel yükle etkileri sırasıyla, %28.24'ten %5.86'ya, %20.03'den %3.37'ye, %19.83'den %3.48'e, %38.55'ten %9.2'ye kadar azalmaktadır. Gördüğü gibi oranının sonraki artışlarında kayma deformasyonların kritik eksenel yükle etkileri azalarak yok olur ve bu durumda klasik kabuk teorisine çerçevesinde elde edilen ifadelerin kullanılması mümkün olabilir.

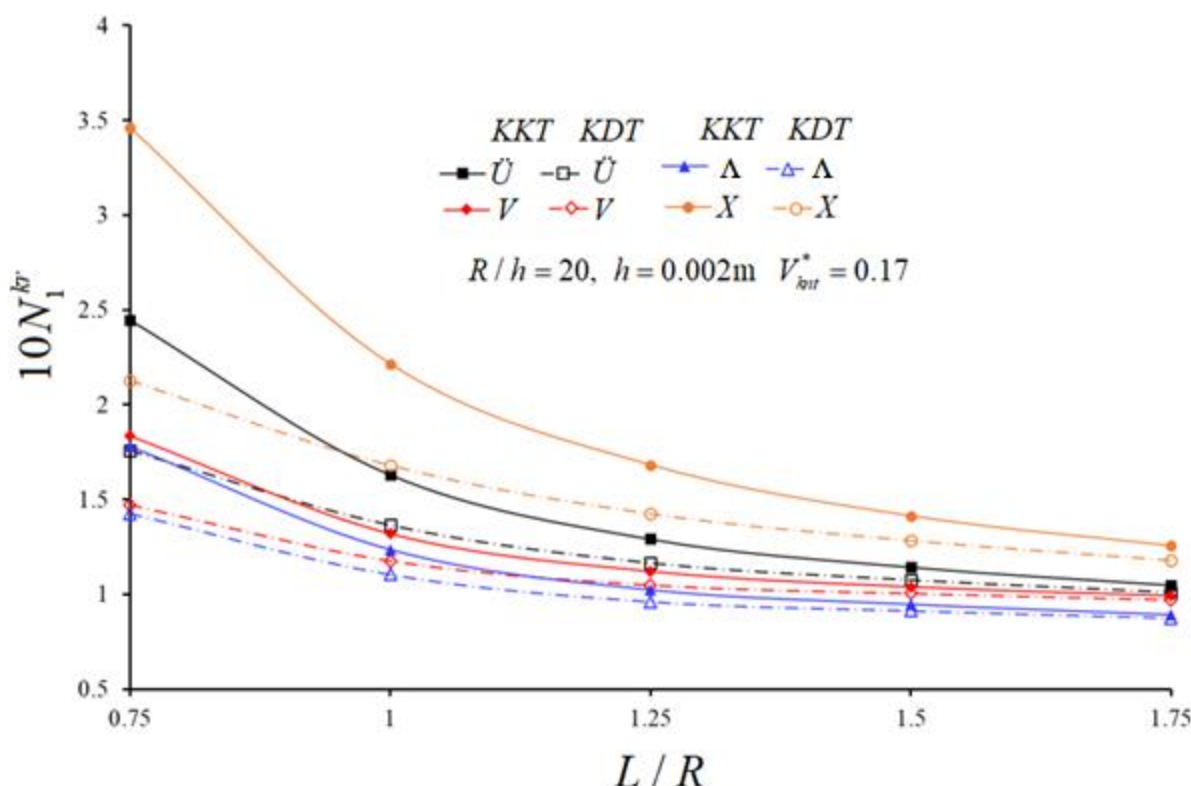
KNT'lerin polimer içindeki dağılımlarının kritik eksenel yükle etkisi L/R oranının artmasına bağlı olarak sürekli olarak azalduğu tespit edilmiştir. Bu azalmanın özellikle V örüntülü silindirde daha belirsiz olduğu gözlenmiştir. Λ ve X örüntülü silindirlerde ise L/R oranı arttığında örüntülerin kritik eksenel yükle etkisinin azalmasına rağmen belirlenmesini ciddi bir şekilde korumaktadır. Kayma deformasyon teorisini KKT'ye kıyasla örüntü etkilerini kayda değer olarak azaltmaktadır.

Örneğin, L/R oranı 0.75'ten 1.75'e arttığında fonksiyonel dörecelendirilmiş silindirik kabukların kritik eksenel yük değerleri ile üniform dağılımlı silindirlerin kritik eksenel yük değerleri kıyaslandığında, KDT çerçevesinde V, Λ ve X-örüntülerinin kritik eksenel yükle etkileri sırasıyla, (-%16.34)'ten (-%4.06)'ya, (-%18.74)'ten (-%13.35)'e ve %21.07'den %16.62'ye kadar azalmakta iken, KKT çerçevesinde V, Λ ve X-örüntülerinin kritik eksenel yükle etkileri sırasıyla, (-%24.93)'den (-%5.34)'e, (-%27.26)'dan (-%14.89)'a ve %41.4'ten %19.75'e kadar azalmaktadır.

Gördüğü gibi L/R oranının sonraki artışlarında kayma deformasyonlarının kritik eksenel yükle etkileri azalarak yok olur ve bu durumda klasik kabuk teorisine çerçevesinde elde edilen ifadelerin kullanılması mümkün olabilir.

Tablo 3. Farklı örüntüler için KNT takviyeli silindirik kabukların boyutsuz kritik eksenel yük değerleri ve (m, n) burkulma modlarının hacim kesir oranına göre dağılımı

V_{knt}^*	$N_1^{kr} \times 10, (m, n)$									
	Ü		V		Λ		X			
	KKT	KDT	KKT	KDT	KKT	KDT	KKT	KDT		
0.12	1.074(1,4)	0.871(1,4)	0.860(1,4)	0.748(1,4)	0.805(1,4)	0.704(1,4)	1.464(1,4)	1.069(1,4)		
0.17	1.631(1,4)	1.364(1,4)	1.320(1,4)	1.174(1,4)	1.236(1,4)	1.104(1,4)	2.215(1,4)	1.678(1,4)		
0.28	2.399(1,4)	1.845(1,4)	1.866(1,4)	1.579(1,4)	1.796(1,4)	1.525(1,4)	3.386(1,4)	2.257(1,4)		



Şekil 3. Farklı KNT örüntüleri için silindirik kabukların kritik eksenel yükünün L/R oranına bağlı olarak dağılımı

4 Sonuçlar

Eksenel basınç yüküne maruz KNT örüntülü silindirik kabukların burkulma analizi kayma deformasyon teorisi çerçevesinde sunulmaktadır. KNT örüntülü kompozit silindirik kabukların malzeme özelliklerinin konuma bağlı olduğu varsayılmaktadır. Nanokompozit silindirik kabukların temel denklemleri Donnell tipi kabuk teorisi kullanılarak türetilmiş ve Galerkin yöntemi uygulanarak çözülmüştür. KNT örüntülü silindirik kabuklar için kritik eksenel yük ifadesi KDT çerçevesinde bulunmuştur. KNT örüntüleri ve hacim kesir oranları, kabuk karakteristikleri değiştirilerek enine kayma deformasyonlarının FD nanokompozit silindirik kabukların kritik eksenel basınç yükü üzerindeki etkileri detaylı olarak araştırılmıştır.

Çıkar çatışması

Yazarlar çıkar çatışması olmadığını beyan etmektedir.

Benzerlik oranı (iThenticate): %19

Kaynaklar

- [1] W. Khan, R. Sharma and P. Saini, Carbon nanotube-based polymer composites: Synthesis, properties and applications. In Carbon Nanotubes Current Progress of their Polymer Composites; Intech Open: London, UK, 2016.
- [2] S. Iijima, Helical microtubules of graphitic carbon. Nature, 354, 56–58, 1991. <https://doi.org/10.1038/354056a0>
- [3] E.T. Thostenson, Z. Ren and T.W. Chou, Advances in the science and technology of carbon nanotubes and their composites: a review. Composites Science and Technology, 61, 1899-1912, 2001. [https://doi.org/10.1016/S0266-3538\(01\)00094-X](https://doi.org/10.1016/S0266-3538(01)00094-X)
- [4] A.M.K. Eswai and M.M. Farag, Carbon nanotube reinforced composites: potential and current

- challenges. Materials & Design, 28, 2394-2401, 2007. [https://doi.org/10.1016/S0266-3538\(01\)00094-X](https://doi.org/10.1016/S0266-3538(01)00094-X)
- [5] P.M. Ajayan, L.S. Schadler, C. Giannaris and A. Rubio, Single-walled nanotube-polymer composites: strength and weaknesses. Advanced Materials, 12(10), 750–753, 2000. [https://doi.org/10.1002/\(SICI\)1521-4095\(200005\)12:10<750::AID-ADMA750>3.0.CO;2-6](https://doi.org/10.1002/(SICI)1521-4095(200005)12:10<750::AID-ADMA750>3.0.CO;2-6)
- [6] Y.J. Liu and X.L. Chen, Evaluation of effective material properties of carbon nanotube-based composites using a nanoscale representative volume element. Mechanics of Materials, 35, 69-81, 2003. [https://doi.org/10.1016/S0167-6636 \(02\)00200-4](https://doi.org/10.1016/S0167-6636(02)00200-4)
- [7] Y. Han and J. Elliott, Molecular dynamics simulations of the elastic properties of polymer/carbon nanotube composites. Computational Materials Science, 39, 315-323, 2007. <https://doi.org/10.1016/j.commatsci.2006.06.011>
- [8] H. S. Shen, Postbuckling of nanotube-reinforced composite cylindrical shells in thermal environments, Part I: Axially-loaded shells. Composite Structures, 93, 2096–2108, 2011. <https://doi.org/10.1016/j.compstruct.2011.02.011>
- [9] Z.X. Lei, K.M. Liew and J.L. Yu, Buckling analysis of functionally graded carbon nanotube-reinforced composite plates using the element-free kp-Ritz method. Composite Structures, 98, 160-168, 2013. <https://doi.org/10.1016/j.compstruct.2012.11.006>
- [10] S. Chakraborty, T. Dey and R. Kumar, Stability and vibration analysis of CNT-Reinforced functionally graded laminated composite cylindrical shell panels using semi-analytical approach. Composites Part B-Engineering, 168(209), 1-14, 2019. <https://doi.org/10.1016/j.compositesb.2018.12.051>
- [11] V.H. Nam, N.T. Phuong and V.M. Duc, Nonlinear buckling of orthogonal carbon nanotube-reinforced composite cylindrical shells under axial compression surrounded by elastic foundation in thermal environment. International Journal of Computational Materials Science and Engineering, 8(4), Article Number: 1950016, 2019. <https://doi.org/10.1142/S204768411950016>
- [12] P.T. Hieu and H.V. Tung, Buckling of shear deformable FG-CNTRC cylindrical shells and toroidal shell segments under mechanical loads in thermal environments. Zamm-Zeitschrift fur Angewandte Mathematik und Mechanik, 100 (11), Article Number: 201900243, 2020. <https://doi.org/10.1002/zamm.201900243>
- [13] J.N. Reddy, Mechanics of Laminated Composite Plates and Shells. Theory and Analysis, Boca Raton, CRC Press, 2004.
- [14] E. Viola, F. Tornabene and N Fantuzzi, General higher-order shear deformation theories for the free vibration analysis of completely doubly-curved laminated shells and panels. Composite Structures, 95, 639-666, 2013. <https://doi.org/10.1016/j.compstruct.2012.08.005>
- [15] Avey M., Fantuzzi N., Sofiyev AH. Mathematical modeling and analytical solution of thermoelastic stability problem of functionally graded nanocomposite cylinders within different theories. Mathematics, 10, 1081, 2022. <https://doi.org/10.3390/math10071081>
- [16] A.S. Volmir, Stability of Elastic Systems. Moscow, Nauka. English Translation: Foreign Tech. Division, Air Force Systems Command. Wright-Patterson Air Force Base, Ohio, AD 628508, 1967.

